

کالیبراسیون مدل منطقه‌ای سیلاب با استفاده از روش دیکن در مناطق فاقد آمار (مطالعه‌ی موردی حوضه شیوند خوزستان)

آرش آذری^۱، علی جان بافکار^۱، علی محمد آخوندعلی^۲ و عبدالله طاهری تیزرو^۳

چکیده

به طور کلی در مطالعه‌ی سیلاب دو دسته اطلاعات ارائه می‌گردد که عبارت است از حداکثر دبی لحظه‌ای و هیدروگراف سیلاب با دوره‌های برگشت مختلف. هدف از این پژوهش تعیین ضرایب منطقه‌ای معادله دیکن جهت محاسبه حداکثر دبی سیلاب در هر دوره برگشت می‌باشد. در این مطالعه بهدلیل فقدان آمار اندازه‌گیری در حوضه شیوند از اطلاعات ایستگاه‌های مجاور استفاده شد. آمار حداکثر دبی لحظه‌ای سیلاب رودخانه‌های واقع در پیرامون محدوده طرح پس از جمع‌آوری و کنترل، تصحیح و تکمیل گردید. سری درازمدت آماری دبی اوج سیلاب توسط توزیع‌های احتمالاتی مختلف مورد تحلیل فراوانی واقع شد و براساس نتایج آزمون‌های آماری بهترین توزیع برآذش یافته بر سری آماری سیلاب هر یک از ایستگاه‌های هیدرومتری انتخاب گردید. مقادیر دبی اوج سیلاب با دوره‌های برگشت مختلف در تمام ایستگاه‌ها با استفاده از توزیع منتخب برآورد گردید. سپس با ایجاد روابط همبستگی بین مساحت ایستگاه‌ها و مقادیر دبی سیلاب در هر دوره برگشت، معادله‌ی دبی-مساحت در هر دوره برگشت بر اساس رابطه‌ی دیکن به دست آمد. با ایجاد همبستگی بین مقادیر C و N (ضرایب معادله‌ی دیکن) با دوره برگشت سیلاب، دو معادله برای محاسبه C و N بر حسب دوره برگشت سیلاب به دست آمد. با جای‌گزین کردن این معادله‌ها به جای C و N در معادله دیکن، معادله‌ی نهایی جهت برآورد سیلاب در منطقه طرح پیشنهاد گردید و با استفاده از آن مقادیر سیلاب با دوره‌های برگشت مختلف برای حوضه شیوند تخمین زده شد.

واژه‌های کلیدی: حداکثر دبی لحظه‌ای سیلاب، روش دیکن، دوره برگشت سیلاب

۱ و ۳. به ترتیب مریبان و استادیار گروه مهندسی آب، دانشکده کشاورزی، دانشگاه رازی، کرمانشاه

۲. دانشیار گروه هیدرولوژی و منابع آب، دانشکده مهندسی علوم آب، دانشگاه شهید چمران، اهواز

کریگر رضایت بخش تر بود. همچنین اختلاف مقادیر پیش‌بینی توسط این مدل با مقادیر مشاهداتی در ایستگاه‌ها در مقایسه با روش کریگر کمتر بود. بهرامی و همکاران (۱۳۸۷) به منظور تهیه مدل‌های منطقه‌ای سیلاب در حوضه آبخیز سفیدرود از بین ۱۳ ایستگاه هیدرومتری موجود در حوضه مذکور، در نهایت ۷ ایستگاه که دارای حداقل آمار لازم بودند را انتخاب نمودند. پس از تکمیل و تطویل آمار، توزیع‌های مختلف آماری بر داده‌ها برآش داده شد و بهترین توزیع برای هر ایستگاه انتخاب شد، آنگاه با استفاده از توزیع‌های منتخب، دبی با دوره برگشت ۲ الی ۲۰۰ ساله برآورد گردید. سپس روابطی با دقت بالا بین دبی حداکثر لحظه‌ای با دوره‌های برگشت مختلف و مساحت به دست آمد که به عنوان مدل‌های منطقه‌ای از آن‌ها استفاده شد. هینز و استدینگر (۱۹۹۸) با شبیه سازی ۱۴۵ حوضه در مونت کارلوی آمریکا به این نتیجه رسیدند که استفاده از رگرسیون خطی در برآورد دبی پیک سیلاب از روی مشخصات فیزیوگرافی حوضه در مقایسه با رگرسیون غیر خطی به جواب‌های مناسب و واقعی‌تری منتهی می‌شود. بوختون (۲۰۰۵) از داده‌های بارش و رواناب روزانه و مقادیر تبخیر و تعرق پتانسیل ماهانه در یک دوره آماری ۶۴ ساله جهت استخراج مدل سیلاب در حوضه‌های شرق استرالیا استفاده کرد. با تفکیک سال‌های آماری به دوره‌های ۵، ۱۰، ۲۰ و ۳۰ ساله و استفاده از هر کدام، مدل روزانه بارش-رواناب را کالیبره نمود. در نهایت نتیجه گرفت که استفاده از داده‌های آماری ۲ و ۵ ساله اختلافی حدود ۲۱-۳۱ تا +۳۱ درصد با داده‌های واقعی داشته اما استفاده از داده‌های با دوره آماری بیش از ۱۰ سال مخصوصاً ۳۰ ساله منجر به کالیبراسیون دقیق‌تر مدل شده و اختلافات جزئی می‌باشد. رابت لیندر (۲۰۰۷) از داده‌های بارندگی و دمای روزانه به منظور تعیین ضرایب مدل هواشناسی منطقه‌ای^۱ در سه زیر حوضه رودخانه میوس واقع در مرز بلژیک و فرانسه استفاده و تاثیر تغییرات آب و هوایی روی سیلاب مربوط به زیر حوضه‌های مذکور را بررسی کرد. پس از کالیبراسیون مدل مقادیر سیلاب را با دوره برگشت‌های

لزوم پیش‌بینی طغیان استثنایی رودخانه‌ها در طراحی سدها، کالورت‌ها، پل‌ها و سایر بنای‌های آبی که بر روی رودخانه‌ها و مجاری طبیعی احداث می‌شوند، امری مسلم است. زیرا ابعاد این گونه سازه‌ها و در نتیجه، هزینه‌ی احداث آن‌ها کاملاً به انتخاب سیلاب مورد نظر وابسته است. از روش‌های مهم و متداول در برآورد دبی اوج سیلاب که مبتنی برآمار و اطلاعات محلی می‌باشد، روش تحلیل منطقه‌ای یا مدل‌بندی سیلاب بوده که توسط اکثر پژوهش‌گران مورد استفاده قرار گرفته است (بهنیا و شامحمدی حیدری، ۱۳۸۴). نتایج آنالیز منطقه‌ای معمولاً به صورت معادلات، منحنی و نمودار ارائه می‌شود که بر اساس این روابط ریاضی و ترسیمی می‌توان برای هر نقطه از منطقه مورد بررسی که فاقد آمار باشد، مقادیر سیلاب طرح با دوره برگشت‌های مورد نظر را با تقریب برآورد کرد. غیاثی و همکاران (۱۳۸۲) به بررسی تاثیر برخی ویژگی‌های هندسی آبخیزها بر سیلاب‌های حداکثر لحظه‌ای با دوره بازگشت‌های مختلف پرداختند. نتایج آن‌ها نشان داد که در این منطقه پارامترهای مساحت، ارتفاع متوسط، شیب رودخانه، درصد پوشش جنگلی، تراکم زهکشی و بارش متوسط سالیانه نقش تعیین کننده داشته و متغیر مساحت عامل اصلی در تعیین همگنی است. بهنیا و شامحمدی حیدری (۱۳۸۴) مدل منطقه‌ای برآورد سیلاب حداکثر در حوضه‌های فاقد آمار شرق و جنوب شرق جلگه خوزستان را در حوضه‌ای با مساحت بیش از ۲۰۰۰۰ کیلومتر مربع تعیین نمودند. ابتدا با انتخاب یک دوره شاخص ۴۴ ساله آمار طغیان‌های لحظه‌ای از طریق معادلات همبستگی تکمیل گردید. سپس با انتخاب توزیع مناسب، طغیان با دوره‌های برگشت مختلف محاسبه گردید و مدل منطقه‌ای سیلاب بر اساس دوره برگشت سیلاب و مساحت برای حوضه مورد مطالعه پیشنهاد گردید. شرکت مهندسین مشاور بندآب غرب (۱۳۸۶) برای محاسبه سیلاب طرح بند انحرافی برناج کرمانشاه با مساحت حوضه بیش از ۱۰۰ کیلومتر مربع، از روش کالیبراسیون معادله دیکن در منطقه استفاده کرد که نتایج حاصله نسبت به مدل‌های دیگر از جمله

جهت برآورد سیلاب با دوره برگشت‌های مختلف در منطقه مورد مطالعه از اهداف دیگر این پژوهش است.

مواد و روش‌ها

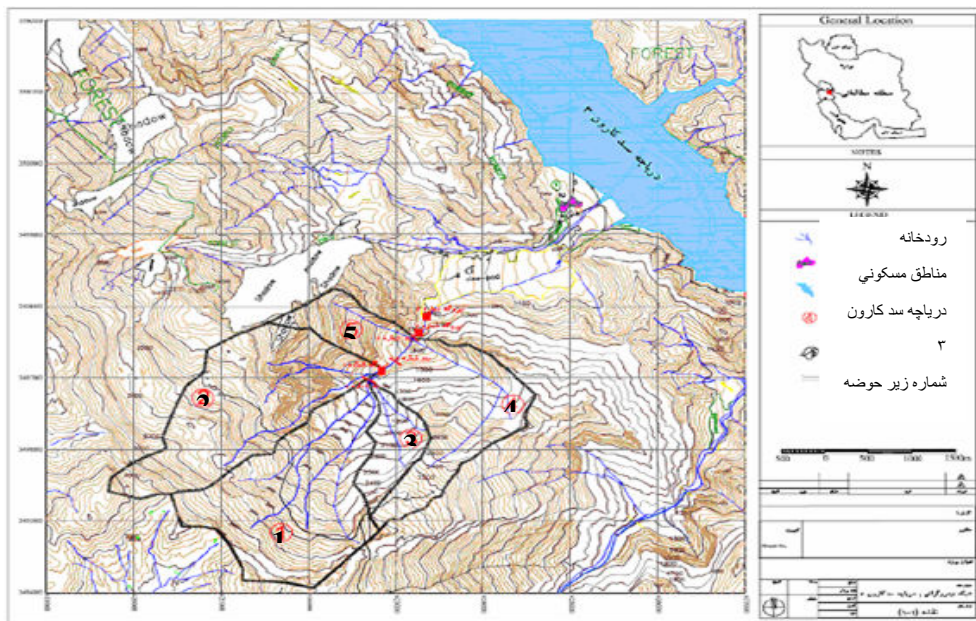
موقعیت منطقه مورد مطالعه

حوضه شیوند واقع در غرب استان خوزستان، از زیرحوضه‌های حوضه کارون می‌باشد. نقشه موقعیت حوضه مطالعاتی و زیرحوضه‌ها و شبکه آبراهه‌ها در شکل (۱) آمده است. به دلیل فقدان ایستگاه هیدرومتری در این حوضه از آمار و اطلاعات حوضه‌های مجاور استفاده شد که مشخصات ایستگاه‌های منتخب پیرامون محدوده حوضه در جدول ۱ آورده شده است.

مختلف محاسبه نمود و با داده‌های واقعی مقایسه نمود که اختلافات به دست آمده جزئی گزارش شد. با توجه به پژوهش‌های صورت گرفته در خصوص برآورد سیلاب به نظر می‌رسد که مدل‌های به کار گرفته شده برای هر منطقه باید کالیبره گردد. هم‌چنین در برخی منابع معادله دیکن تنها بر اساس مساحت ذکر شده است (علیزاده، ۱۳۸۷). هدف از انجام این پژوهش تعیین ضرایب منطقه‌ای مدل دیکن با در نظر گرفتن آمار بلند-مدت حداکثر سیلاب لحظه‌ای ایستگاه‌های واقع در محدوده منطقه مورد مطالعه می‌باشد. اعمال دوره برگشت سیلاب در معادله دیکن و پیشنهاد معادله نهایی

جدول ۱: جدول مشخصات ایستگاه‌های هیدرومتری مورد استفاده در محدوده طرح

شماره	نام ایستگاه	کد ایستگاه	رودخانه	طول جغرافیایی	عرض جغرافیایی	ارتفاع (متر)	مساحت حوضه (Km ²)	سازمان آب حوضه
۱	بارز	۲۱-۲۲۵	خرسان	۵۰°۲۵'	۳۱°۳۱'	۸۱۵	۸۹۰۰	اصفهان کارون
۲	ارمند	۲۱-۲۳۱	کارون	۵۰°۴۶'	۳۱°۴۱'	۱۰۵۰	۹۹۰۰	اصفهان کارون
۳	مرغک	۲۱-۲۳۳	بافت	۵۰°۲۸'	۳۱°۳۹'	۸۶۰	۲۳۵۵	اصفهان کارون
۴	پل شالو	۲۱-۲۳۷	کارون	۵۰°۰۸'	۳۱°۴۵'	۷۰۰	۲۳۴۰۰	خوزستان کارون
۵	درک آباد	۲۱-۴۱۹	بیرگان	۵۰°۰۲'	۳۲°۰۱۴'	۲۱۵۰	۵۶۳	اصفهان کارون
۶	بهشت آباد	۲۱-۴۲۵	بهشت آباد	۵۰°۰۳۸'	۳۲°۰۰۲'	۱۶۷۰	۳۸۲۶	اصفهان کارون
۷	جونقان	۲۱-۴۲۹	جونقان	۵۰°۰۳۹'	۳۲°۰۰۶'	۱۹۲۰	۹۱۰	اصفهان کارون
۸	کوه سوخته	۲۱-۴۹۷	کیار (کارون)	۵۰°۰۳۹'	۳۲°۰۰۶'	۲۰۰۰	۲۹۱۰	اصفهان کارون
۹	ماشین	۲۲-۰۱۱	رود زرد	۴۹°۰۴۳'	۳۱°۰۲۳'	۳۵۰	۸۷۵	خوزستان مارون
۱۰	جوکنک	۲۲-۰۱۳	الله	۴۹°۰۴۳'	۳۱°۰۲۰'	۳۳۰	۲۳۴۶	خوزستان مارون



شکل ۱: نقشه توپوگرافی، شبکه آبراهه‌ها و موقعیت منطقه مطالعاتی (سازمان آب و برق خوزستان)

شد. با ایجاد همبستگی بین مقادیر C و N با دوره برگشت سیلاب، دو معادله برای محاسبه C و N بر حسب دوره برگشت سیلاب به دست آمد. با جایگزین کردن این معادلات به جای C و N در معادله دیکن، معادله نهایی کالیبره شده جهت برآورد سیلاب در منطقه طرح پیشنهاد گردید. سپس با استفاده از مدل نهایی کالیبره شده دیکن و مشخصات زیرحوضه‌های حوضه شیوند مقادیر سیلاب در کل حوضه شیوند با دوره برگشت‌های مختلف محاسبه شد.

نتایج و بحث

نتایج حاصل از ماتریکس همبستگی بین حداکثر دبی لحظه‌ای ایستگاه‌ها در جدول (۲) آمده است که با استفاده از آن روابط بازسازی با بالاترین میزان ضربه همبستگی که در سطح اعتماد ۹۹٪ قابل قبول بودند- انتخاب شد. روابط بازسازی که با استفاده از آن‌ها داده‌های سیلاب ایستگاه‌ها بازسازی شد در جدول (۳) آورده شده است.

به منظور بررسی همگن بودن داده‌ها آزمون جرم مضاعف در ایستگاه‌های منتخب انجام شد که نتایج حاصل از آن در شکل (۲) آمده است. همچنان برای بررسی تصادفی بودن داده‌ها آزمون ران‌تست در این ایستگاه‌ها انجام شد که در جدول (۴) آورده شده است. انجام این آزمون در تمام ایستگاه‌ها نتایج درستی داده‌ها را اثبات نمود.

آنالیز منطقه‌ای سیلاب در کلیه ایستگاه‌های هیدرومتری و انجام آزمون کای اسکوئر (χ^2) نشان داد که بهترین توزیع برای داده‌های سیل، توزیع لوگ پیرسون است. لذا سیل با دوره‌های برگشت مختلف در هر ایستگاه با استفاده از این توزیع محاسبه گردید که در جدول (۵) آورده شده است.

بازسازی داده‌ها و آنالیز منطقه‌ای سیلاب ایستگاه‌ها
با استفاده از مقادیر حداکثر دبی روزانه موجود و ایجاد همبستگی خطی با ماکزیمم پیک سیل، داده‌های حداکثر دبی لحظه‌ای سیل بر اساس آمار ۳۵ ساله به روش زیر بازسازی شد. ابتدا با انجام آزمون گرافیکی داده‌های پرت^۱ بر روی داده‌های حداکثر دبی لحظه‌ای ایستگاه‌ها، داده‌های پرت حذف گردید. به‌منظور تعیین روابط بازسازی بین ایستگاه‌ها ماتریس همبستگی تشکیل گردید. سپس روابط بازسازی با بالاترین میزان ضربی همبستگی که در سطح اعتماد ۹۹٪ قابل قبول بودند، انتخاب شدند که با استفاده از آن‌ها داده‌های سیلاب ایستگاه‌ها بازسازی شد. در مورد داده‌های ایستگاه‌های منتخب در محدوده منطقه مورد مطالعه و اطراف آن به‌منظور بررسی همگن بودن داده‌ها آزمون جرم مضاعف انجام شد. در بعضی از ایستگاه‌ها که دارای همگنی خوبی نبود با ایجاد رابطه خطی میان میانگین وزنی تجمعی آن ایستگاه و میانگین تجمعی کل ایستگاه‌ها، داده‌های آن ایستگاه بازسازی شد. همچنین برای بررسی تصادفی بودن داده‌ها آزمون ران‌تست^۲ در کلیه ایستگاه‌های منتخب انجام شد. سپس بر روی داده‌های بازسازی شده سیلاب سالانه هر ایستگاه در نرم افزار SMADA توزیع‌های گامبل، پیرسون، لوگ پیرسون، نرمال، لوگ نرمال ۲ پارامتری و لوگ نرمال ۳ پارامتری برآش داده شد و مناسب‌ترین توزیع حاکم بر داده‌های سیل با استفاده از آزمون کای اسکوئر (χ^2) و طبق معادله زیر تعیین گردید. توزیعی که کمترین مقدار χ^2 را داشت به عنوان توزیع مناسب انتخاب شد و سیل با دوره برگشت‌های مختلف در هر ایستگاه با استفاده از این توزیع محاسبه گردید.

$$(1) \quad X^2 = \sum \frac{(O - E)^2}{E}$$

با ایجاد روابط همبستگی بین مساحت ایستگاه‌ها و مقادیر دبی سیلاب در هر دوره برگشت معادلات دبی مساحت برای هر دوره برگشت بر اساس رابطه دیکن به دست آمد. سپس مقادیر C و N در معادلات پیشنهادی طبق فرمول $Q = CA^N$ برای تمام دوره برگشت‌ها ثبت

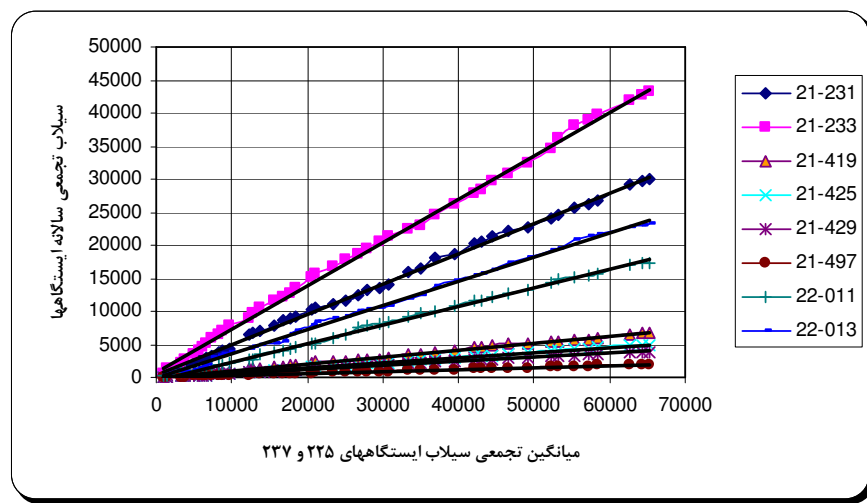
1. Outlayer
2. Run test

جدول ۲: مقادیر R^* در ماتریکس همبستگی بین حداکثر دبی لحظه‌ای ایستگاه‌ها

کد ایستگاه‌ها و مقادیر R^*											
۲۱-۲۲۵	۲۱-۲۳۱	۲۱-۲۳۳	۲۱-۲۳۷	۲۱-۴۱۹	۲۱-۴۲۵	۲۱-۴۲۹	۲۱-۴۹۷	۲۲-۰۱۱	۲۲-۰۱۳	کد ایستگاه‌ها	
۰/۰۰۰	۰/۴۲۱	۰/۳۹۳	۰/۵۵۲	۰/۱۵۵	۰/۰۱۰	۰/۰۸۰	۰/۰۵۶	۰/۱۸۲	۰/۲۶۴	۲۱-۲۲۵	
۰/۴۲۱	۱/۰۰۰	۰/۴۳۹	۰/۶۷۹	۰/۸۴۳	۰/۸۱۹	۰/۴۹۸	۰/۶۳۶	۰/۱۹۹	۰/۳۴۸	۲۱-۲۳۱	
۰/۳۹۳	۰/۴۳۹	۱/۰۰۰	۰/۶۲۴	۰/۳۵۱	۰/۵۲۹	۰/۵۵۹	۰/۸۸۰	۰/۳۰۱	۰/۴۴۱	۲۱-۲۳۳	
۰/۵۵۲	۰/۶۷۹	۰/۶۲۴	۱/۰۰۰	۰/۸۰۸	۰/۸۲۸	۰/۵۸۸	۰/۵۲۷	۰/۵۵۱	۰/۴۵۷	۲۱-۲۳۷	
۰/۱۵۵	۰/۸۴۳	۰/۳۵۱	۰/۸۰۸	۱/۰۰۰	۰/۹۴۷	۰/۵۰۱	۰/۴۶۹	۰/۲۲۷	۰/۲۵۴	۲۱-۴۱۹	
۰/۰۱۰	۰/۸۱۹	۰/۵۲۹	۰/۸۲۸	۰/۹۴۷	۱/۰۰۰	۰/۷۶۸	۰/۹۰۵	۰/۴۹۶	۰/۶۱۹	۲۱-۴۲۵	
۰/۰۸۰	۰/۴۹۸	۰/۵۵۹	۰/۵۸۸	۰/۵۰۱	۰/۷۴۸	۱/۰۰۰	۰/۴۷۴	۰/۳۳۷	۰/۴۶۵	۲۱-۴۲۹	
۰/۰۵۶	۰/۶۳۸	۰/۸۸۰	۰/۵۲۷	۰/۴۶۹	۰/۹۰۵	۰/۴۷۴	۱/۰۰۰	۰/۵۰۸	۰/۴۸۰	۲۱-۴۹۷	
۰/۱۸۲	۰/۱۹۹	۰/۳۰۱	۰/۵۵۱	۰/۴۲۷	۰/۴۹۶	۰/۳۳۷	۰/۵۰۸	۱/۰۰۰	۰/۳۹۷	۲۲-۰۱۱	
۰/۲۶۴	۰/۳۴۸	۰/۴۴۱	۰/۴۵۷	۰/۲۵۴	۰/۶۱۹	۰/۴۶۵	۰/۴۸۰	۰/۳۹۷	۱/۰۰۰	۲۲-۰۱۳	

جدول ۳: روابط بازسازی داده‌های حداکثر دبی لحظه‌ای

سطح اعتماد	کمترین R^* مجاز	درجه آزادی	تعداد داده‌ها	R^*	معادله بازسازی	ایستگاه ناقص	ایستگاه مینا
۹۹%	۰/۳۸۶۸	۴۱	۴۳	۰/۵۵۲	$Y = 1/389X + 470/87$	۲۱-۲۳۷	۲۱-۲۲۵
۹۹%	۰/۵۴۹۵	۱۸	۲۰	۰/۵۵۱	$Y = 0/237X - 56/86$	۲۲-۰۱۱	۲۱-۲۳۷
۹۹%	۰/۳۹۱۳	۴۰	۴۲	۰/۶۷۹	$Y = 0/352X + 7/63$	۲۱-۲۳۱	۲۱-۲۳۷
۹۹%	۰/۷۰۷۹	۱۰	۱۲	۰/۵۸۸	$Y = 0/254X + 44/21$	۲۱-۴۲۹	۲۱-۲۳۷
۹۹%	۰/۸۳۵۱	۶	۸	۰/۷۴۹	$Y = 0/0075X^{1/66}$	۲۱-۴۲۵	۲۱-۲۳۷
۹۹%	۰/۴۷۸۲	۲۶	۲۸	۰/۶۲۴	$Y = 0/384X + 312/54$	۲۱-۴۲۳	۲۱-۲۳۷
۹۹%	۰/۷۳۶۷	۹	۱۱	۰/۸۷۹	$Y = 0/046X - 2/625$	۲۱-۴۹۷	۲۱-۲۳۳
۹۹%	۰/۶۳۳۵	۱۳	۱۵	۰/۵۹۴	$Y = 56/24 \exp(0/0012X)$	۲۱-۴۱۹	۲۱-۲۳۱
۹۹%	۰/۴۰۰۷	۲۸	۴۰	۰/۴۵۶	$Y = 0/188X + 171/03$	۲۲-۰۱۳	۲۱-۲۳۷



شکل ۲: آزمون جرم مضاعف در ایستگاه‌های مورد مطالعه

جدول ۴: نتایج حاصل از آزمون ران‌تست در ایستگاه‌های منتخب

Result	U Limit	U(22-43)	N1(22-43)	N0(22-43)	U Limit	U(1-21)	N1(1-21)	N0(1-21)	Run-test
درست	۶-۱۵	۱۲	۱۵	۷	۵-۱۴	۱۲	۶	۱۶	۲۱-۲۲۵
درست	۷-۱۷	۱۷	۱۱	۱۱	۴-۱۰	۷	۴	۱۸	۲۱-۲۳۱
درست	۶-۱۷	۱۳	۱۳	۹	۳-۸	۷	۳	۱۹	۲۱-۲۲۳
درست	۶-۱۵	۱۲	۱۵	۷	۴-۱۰	۸	۴	۱۸	۲۱-۲۳۷
درست	۶-۱۶	۱۱	۸	۱۴	۲-۶	۵	۲	۲۰	۲۱-۴۱۹
درست	۶-۱۶	۱۴	۱۴	۸	۴-۱۰	۸	۴	۱۸	۲۱-۴۲۵
درست	۵-۱۴	۱۲	۱۶	۶	۴-۱۰	۸	۴	۱۸	۲۱-۴۲۹
درست	۷-۱۷	۱۵	۱۲	۱۰	۳-۸	۷	۳	۱۹	۲۱-۴۹۷
درست	۶-۱۷	۱۴	۱۳	۹	۴-۱۰	۸	۴	۱۸	۲۲-۰۱۱
درست	۷-۱۷	۱۲	۱۲	۱۰	۵-۱۴	۷	۶	۱۶	۲۲-۰۱۳

جدول ۵: دبی‌های حداکثر لحظه‌ای سیلاب با دوره‌های برگشت مختلف در ایستگاه‌های هیدرومتری منتخب

دوره برگشت سیلاب (سال)												مساحت (km²)	توزیع	ایستگاه	n
۱۰۰۰	۱۰۰۰	۵۰۰	۲۰۰	۱۰۰	۵۰	۲۵	۱۰	۵	۳	۲					
۶۳۵۸	۴۹۵۰/۱	۴۵۱۸	۳۹۴۲	۳۵۰۲/۶	۳۰۵۹/۹	۲۶۱۲/۴	۲۰۱۴/۶	۱۵۴۹/۷	۱۱۹۳/۸	۸۹۱/۵	۸۹۰	LP	۲۱-۲۲۵	۱	
۱۰۲۱۹	۵۷۰۲	۴۷۲۲/۴	۳۶۳۴	۲۹۴۵/۸	۲۳۵۶/۳	۱۸۵۲/۱	۱۲۹۵	۹۴۱/۸	۷۰۹/۷	۵۳۴/۷	۹۹۰	LP	۲۱-۲۳۱	۲	
۸۶۱۸	۵۲۹۶/۸	۴۵۳۶/۹	۳۶۶۷	۳۰۹۷/۵	۲۵۹۳/۸	۲۱۴۷/۲	۱۶۳۰	۱۲۸۱/۶	۱۰۴۰/۲	۸۴۸/۱	۲۲۵۵	LP	۲۱-۲۳۳	۳	
۱۴۸۹۴	۱۰۳۰۸	۹۱۰۰	۷۶۱۴/۱	۶۵۷۰	۵۵۸۶/۸	۴۶۶۶/۵	۳۲۲۵	۲۷۰۶/۶	۲۱۱۳/۴	۱۶۲۸	۲۳۴..	LP	۲۱-۲۳۷	۴	
۱۲۳۱۶	۳۵۴۹/۲	۲۴۴۳	۱۴۹۰/۳	۱۰۲۳/۹	۷۰۱/۷	۴۷۸/۷	۲۸۵/۲	۱۸۹/۴	۱۳۷/۴	۱۰۳/۹	۵۶۳	LP	۲۱-۴۱۹	۵	
۱۱۲۳/۳	۷۴۹/۳	۶۵۲/۲	۵۳۴	۴۵۲	۳۷۶/۱	۳۰۵/۱	۲۲۱	۱۶۲/۱	۱۲۰/۸	۸۸/۳	۳۸۲۶	LP	۲۱-۴۲۵	۶	
۳۸۹/۳	۳۲۳/۲	۳۰۱/۷	۲۷۲	۲۴۸/۵	۲۲۴	۱۹۸/۲	۱۶۱/۷	۱۳۱/۴	۱۰۶/۷	۸۴/۴	۹۱۰	LP	۲۱-۴۲۹	۷	
۷۵۴/۷	۴۶۹	۲۹۵/۸	۲۱۹/۶	۱۷۴/۳	۱۳۷/۴	۱۰۷/۳	۷۵/۸	۵۶/۷	۴۴/۶	۳۵/۷	۲۹۱۰	LP	۲۱-۴۹۷	۸	
۴۶۸۳/۶	۳۰۷۴	۲۶۵۷	۲۱۵۱/۲	۱۸۰۱/۸	۱۴۸۰	۱۱۶۸/۷	۸۳۲/۶	۶۹۲/۸	۴۲۸/۵	۳۰۲/۲	۸۷۵	LP	۲۲-۰۱۱	۹	
۳۸۹۵	۲۸۲۲/۵	۲۵۲۱/۹	۲۱۴۰/۴	۱۶۶۳/۵	۱۵۹۶/۶	۱۳۳۸/۹	/۸	۷۸۹/۱	۵۹۱/۲	۴۴۴/۳	۲۳۴۶	LP	۲۲-۰۱۳	۱۰	

مربوط به این معادلات در شکل‌های (۳) و (۴) آمده است.

$$C = 1 / 4 T^{-0.581}, R^* = 0.99 \quad (2)$$

$$N = 0.69 T^{-0.61}, R^* = 0.95 \quad (3)$$

با جای‌گزین کردن این معادلات به جای C و N در معادله دیکن، معادله نهایی کالیبره شده جهت برآورد سیلاب در منطقه طرح به صورت زیر پیشنهاد گردید.

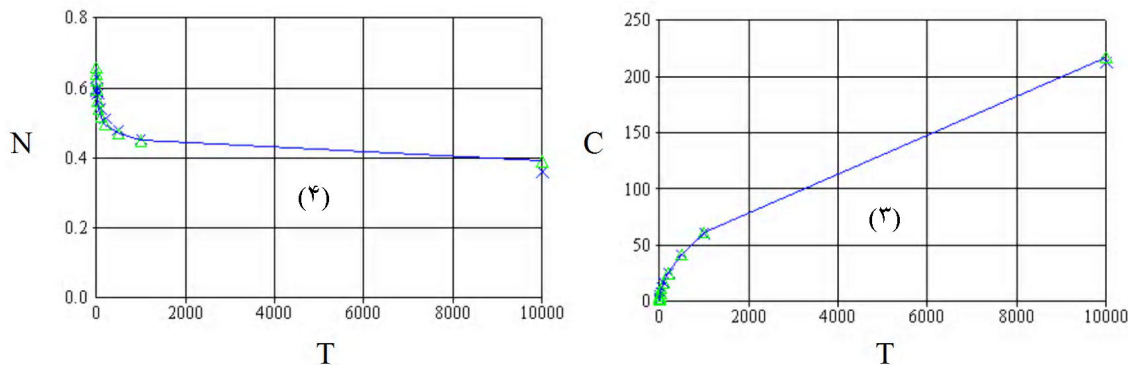
$$Q = 1 / 4 T^{0.581} \times A^{0.69 T^{-0.61}} \quad (4)$$

مقادیر C و N در معادلات همبستگی بین مساحت ایستگاهها و مقادیر دبی سیلاب، طبق فرمول $Q = CA^N$ برای تمام دوره برگشت‌ها ثبت شد که نتایج آن در جدول (۶) مشاهده می‌شود.

با ایجاد همبستگی بین مقادیر C و N با دوره برگشت سیلاب دو معادله (۲) و (۳) برای محاسبه C و N بر حسب دوره برگشت سیلاب به دست آمد که نمودار

جدول ۶: مقادیر C و N در معادلات دیکن - مساحت برای هر دوره برگشت

دوره برگشت سیلاب (سال)													ضرایب رگرسیون
۱۰۰۰	۱۰۰۰	۵۰۰	۲۰۰	۱۰۰	۵۰	۲۵	۱۰	۵	۳	۲			
۲۱۲/۹	۶۰/۹	۴۱/۹	۲۵/۶	۱۷/۱	۱۲/۱	۸/۱	۵/۵	۳/۸	۲/۴	۱/۸	C		
۰/۳۶	۰/۴۵۴	۰/۴۸۱	۰/۵۱۴	۰/۵۴	۰/۵۶۱	۰/۵۸۳	۰/۵۹۲	۰/۶	۰/۶۳	۰/۶۳	N		
۰/۵۰۹۹	۰/۶۱۴۸	۰/۶۳۶۴	۰/۶۵۸۰	۰/۶۶۸۵	۰/۶۸۰۴	۰/۶۸۷۷	۰/۶۹۲۸	۰/۶۷۸۲۳	۰/۶۸۸۴	۰/۷۰۶۷۹	R		



شکل‌های ۳ و ۴: نمودار تغییرات ضرایب معادله دیکن (C و N) با دوره برگشت سیلاب (T)

جدول ۷: مقادیر برآورد شده سیلاب با دوره‌های برگشت مختلف در کل حوضه شیوند (مدل دیکن)

مساحت حوضه (Km ²)	دوره برگشت (سال)	دبی پیک سیلاب (m ³ /Sec)
۱۱/۱۶	۲	۱۰/۰۶۴
۱۱/۱۶	۳	۱۲/۰۶۹
۱۱/۱۶	۵	۱۵/۱۹۳
۱۱/۱۶	۱۰	۲۰/۸۱۶
۱۱/۱۶	۲۵	۳۱/۶۹۶
۱۱/۱۶	۵۰	۴۳/۶۹۷
۱۱/۱۶	۱۰۰	۶۰/۳۹۱
۱۱/۱۶	۲۰۰	۸۳/۶۶۱
۱۱/۱۶	۵۰۰	۱۲۹/۱۷
۱۱/۱۶	۱۰۰۰	۱۷۹/۸۶
۱۱/۱۶	۵۰۰۰	۳۹۰/۹۹
۱۱/۱۶	۱۰۰۰۰	۵۴۷/۹۹

با استفاده از مدل نهایی کالیبره شده دیکن و مشخصات زیرحوضه‌های حوضه شیوند در جدول شماره (۷) مقادیر سیلاب برای تمام زیر حوضه‌ها و کل حوضه شیوند قابل محاسبه است. در نهایت مقادیر سیلاب با دوره‌هایی برگشت مختلف برای کل حوضه شیوند محاسبه شد که نتایج آن در جدول (۸) آورده شده است.

جدول ۷: مشخصات مربوط به زیر حوضه‌های شیوند

زیر حوضه	مساحت (km ²)	طول آبراهه اصلی
۱	۳/۶۸	۲/۶۸
۲	۳/۴۷	۲/۴۴
۳	۰/۷۷	۱/۲۹
۴	۲/۴۲	۲/۶۵
۵	۰/۸۲	۱/۰۶
کل حوضه	۱۱/۱۶	۳/۴۹

کالیبراسیون مدل منطقه‌ای سیلاب با استفاده از روش دیکن در مناطق فاقد آمار

این مدل در پیش‌بینی سیلاب، طرح سد انحرافی برنج در استان کرمانشاه که توسط شرکت مهندسین مشاور بندآب غرب (۱۳۸۶) صورت گرفت و برای منطقه‌ای بیش از ۱۰۰ کیلومتر مربع کالیبره گردید، می‌توان کاربرد مدل مذکور را برای حوضه‌های بیش از ۱۰۰ کیلومتر مربع نیز در صورت کالیبراسیون آن و اعمال دوره برگشت سیلاب در این مدل، پیشنهاد کرد.

همان‌طور که ملاحظه می‌گردد در این پژوهش اثر دوره برگشت سیلاب نیز در نظر گرفته شده است. این در حالی است که در برخی منابع از جمله مطالعات صورت گرفته توسط علیزاده (۱۳۸۵) معادله دیکن به صورت کلی و بدون در نظر گرفتن دوره برگشت سیلاب معرفی شده است. با توجه به نتایج به دست آمده در این پژوهش و مقایسه آن با مطالعات به عمل آمده از کاربرد

منابع

- بهرامی، ج، کاویانپور، م، اصلانی، ف، و شاملو، ح. ۱۳۸۷. آنالیز منطقه‌ای دبی حداکثر لحظه‌ای سیلاب (مطالعه‌ی موردی: حوضه آبریز سفیدرود در استان کردستان). سومین کنفرانس مدیریت منابع آب دانشگاه تبریز، جلد اول.
- شامحمدی حیدری، ز. و بهنیا، ع. ۱۳۸۴. تعیین مدل منطقه‌ای برآورد سیلاب حداکثر در حوضه‌های فاقد آمار شرق و جنوب شرق جلگه خوزستان. نشریه علوم کشاورزی و منابع طبیعی، شماره پنجم، ص ۱۵-۱۰.
- علیزاده، ا. ۱۳۸۵. اصول هیدرولوژی کاربردی. انتشارات آستان قدس رضوی، چاپ بیستم، ص ۷۴۱-۷۳۹
- غیاثی، ن، عرب خدری، م، غفاری، ع، و حاتمی، ح. ۱۳۸۲. بررسی تاثیر برخی ویژگی هندسی آبخیزها بر سیلاب‌های حداکثر لحظه‌ای با دوره بازگشت‌های مختلف. نشریه پژوهش و سازندگی، شماره ۳۸، ص ۱۰-۳.
- مهندسين مشاور بنداد آب غرب. ۱۳۸۶. مطالعات هیدرولوژی طرح سد انحرافی برناج کرمانشاه. جلد اول، ص ۶۳-۶۰.
- Boughton, W. C. 2005. Effect of data length on rainfall- run off modeling. *Journal of Environmental Modeling & Software* 22: 406-413.
- Heinz, D. F., and J. R. Stedinger. 1998. Using regional regression within index flood procedures and an empirical Bayesian estimator. *Journal of Hydrology*, 210: 97-109.
- Leander, R. 2007. Estimated changes in flood quantiles of the river Meuse from resampling of regional climate model output. *Journal of Hydrology*, 351: 331-343.

Calibration of Flood Regional Model by Diken's Method in Regions With Lack of Data

(Case Study: Sheyvand Basin of Khozestan, Iran)

Azari¹, A., Bafkar¹, A., Akhoundali², A. and Taheri Tizro³, A.

Abstract

Generally in flood studies, two types of information will be offered which are namely as peak instantaneous discharge and flood hydrograph with different return periods. The main purpose of the present research is determination of regional coefficient Diken's equation for calculation of peak flood with any return period. In this study, because of lacking measurement data in Sheyvand basin, the peak instantaneous discharge data of existing hydrometric stations in outline basins has been used. The outline rivers peak flow data was collected, controlled, validated and accomplished. The long set of peak flow data was analyzed by different statistical distributions. According to the results of statistical tests, the best distributions for each hydrometric station was selected and the floof peak values with different return periods was estimated by the selected distributions. By creating correlation terms between area parameters and flood data with any return period, one area-discharge equation was achieved according to Diken's equation. By correlating between C & N parameters that are equation coefficients and return period, two equations for calculating both of the considered parameters were obtained. Replacing these equations instead of C & N in Diken's equation, final equation in order to estimating flood amount in study region was achieved. Finally, flood values were estimated flood amounts with different return period for Sheyvand basin by this method.

Keywords: Instantaneous peak discharge, Diken's method, Flood return period

1 & 3. Instructors and Assistant Professor respectively, Department of Irrigation, Faculty of Agriculture, Razi University, Kermanshah

2. Associate Professor, Department of Hydrology, Faculty of Water Sciences Engineering, Chamran University, Ahvaz